

正規分布モデルの共役事前分布によるベイズ統計

- 黒木玄
- 2022-09-03~2022-09-06

目次

- ▼ [1 正規分布モデルの共役事前分布とその応用](#)
 - [1.1 逆ガンマ正規分布](#)
 - [1.2 共役事前分布のBayes更新](#)
 - [1.3 \$\mu\$ の周辺事前・事後分布および事前・事後予測分布](#)
 - [1.4 Jeffreys事前分布の場合](#)
 - [1.5 Jeffreys事前分布の場合の結果の数値的確認](#)
 - [1.6 平均と対数分散について一様な事前分布の場合](#)
 - [1.7 平均と対数分散について一様な事前分布の場合の結果の数値的確認](#)
 - [1.8 通常の信頼区間と予測区間との比較](#)
 - [1.9 データの数値から事前分布を決めた場合](#)
 - [1.10 \$n=5\$ では適応事前分布の場合と無情報事前分布の場合の結果が結構違う。](#)
 - [1.11 \$n=20\$ ではデフォルト事前分布の場合と無情報事前分布の場合の結果が近づく。](#)
 - [1.12 \$n=20\$ で事前分布とデータの数値の相性が悪い場合](#)
 - [1.13 \$n=200\$ で事前分布とデータの数値の相性が悪い場合](#)
 - [1.14 \$n=2000\$ で事前分布とデータの数値の相性が悪い場合](#)
 - [1.15 \$n=20000\$ で事前分布とデータの数値の相性が悪い場合](#)

```
In [1]: 1 ENV["COLUMNS"] = 120
2
3 using Distributions
4 using LinearAlgebra
5 using Random
6 using StatsPlots
7 default(fmt=:png, size=(500, 350),
8         titlefontsize=10, tickfontsize=6, guidefontsize=9,
9         plot_titlefontsize=10)
10 using SymPy
11 using Turing
```

```
In [2]: 1 # Override the Base.show definition of SymPy.jl:
2 # https://github.com/JuliaPy/SymPy.jl/blob/29c5bfd1d10ac53014fa7fef468bc8deccadc2fc/src/types.
3
4 @eval SymPy function Base.show(io::IO, ::MIME"text/latex", x::SymbolicObject)
5     print(io, as_markdown("\displaystyle " *
6         sympy.latex(x, mode="plain", fold_short_frac=false)))
7 end
8 @eval SymPy function Base.show(io::IO, ::MIME"text/latex", x::AbstractArray{Sym})
9     function toeqnarray(x::Vector{Sym})
10         a = join(["\displaystyle " *
11             sympy.latex(x[i]) for i in 1:length(x)], "\\\")
12         """"\left[ \begin{array}{r}$a\end{array} \right]""""
13     end
14     function toeqnarray(x::AbstractArray{Sym}, 2)
15         sz = size(x)
16         a = join([join("\displaystyle " .* map(sympy.latex, x[i,:]), "&")
17             for i in 1:sz[1]], "\\\")
18         """"\left[ \begin{array}{r} " * repeat("r", sz[2]) * "}" * a * "\end{array}\right]""
19     end
20     print(io, as_markdown(toeqnarray(x)))
21 end
```

```

In [3]: 1 # One sample t-test
        2
        3 function pvalue_ttest( $\bar{x}$ ,  $s^2$ , n,  $\mu$ )
        4     t = ( $\bar{x}$  -  $\mu$ )/ $\sqrt{s^2/n}$ 
        5     2ccdf(TDist(n-1), abs(t))
        6 end
        7
        8 function pvalue_ttest(x,  $\mu$ )
        9      $\bar{x}$ ,  $s^2$ , n = mean(x), var(x), length(x)
       10     pvalue_ttest( $\bar{x}$ ,  $s^2$ , n,  $\mu$ )
       11 end
       12
       13 function confint_ttest( $\bar{x}$ ,  $s^2$ , n;  $\alpha$  = 0.05)
       14     c = quantile(TDist(n-1), 1- $\alpha$ /2)
       15     [ $\bar{x}$  - c* $\sqrt{s^2/n}$ ,  $\bar{x}$  + c* $\sqrt{s^2/n}$ ]
       16 end
       17
       18 function confint_ttest(x;  $\alpha$  = 0.05)
       19      $\bar{x}$ ,  $s^2$ , n = mean(x), var(x), length(x)
       20     confint_ttest( $\bar{x}$ ,  $s^2$ , n;  $\alpha$ )
       21 end

```

Out[3]: confint_ttest (generic function with 2 methods)

```

In [4]: 1 # Bayesian analogue of one sample t-test
        2
        3 posterior_mu_ttest(n,  $\bar{x}$ ,  $s^2$ ) =  $\bar{x}$  +  $\sqrt{s^2/n}$ *TDist(n-1)
        4 posterior_mu_ttest(x) = posterior_mu_ttest(length(x), mean(x), var(x))
        5
        6 preddist_ttest(n,  $\bar{x}$ ,  $s^2$ ) =  $\bar{x}$  +  $\sqrt{s^2*(1 + 1/n)}$ *TDist(n-1)
        7 preddist_ttest(x) = preddist_ttest(length(x), mean(x), var(x))

```

Out[4]: preddist_ttest (generic function with 2 methods)

```
In [5]: 1 # Jeffreys事前分布などのimproper事前分布を定義するために以下が使われる。
2
3 """
4     PowerPos(p::Real)
5
6 The *positive power distribution* with real-valued parameter 'p' is the improper distribution
7 of real numbers that has the improper probability density function
8
9 ```math
10 f(x) = \begin{cases} 0 & \text{if } x \leq 0, \\ x^p & \text{otherwise.} \end{cases}
11 \end{cases}
12 ```
13 """
14
15 struct PowerPos{T<:Real} <: ContinuousUnivariateDistribution
16     p::T
17 end
18 PowerPos(p::Integer) = PowerPos(float(p))
19
20 Base.minimum(d::PowerPos{T}) where T = zero(T)
21 Base.maximum(d::PowerPos{T}) where T = T(Inf)
22
23 Base.rand(rng::Random.AbstractRNG, d::PowerPos) = rand(rng) + 0.5
24 function Distributions.logpdf(d::PowerPos, x::Real)
25     T = float(eltype(x))
26     return x ≤ 0 ? T(-Inf) : d.p*log(x)
27 end
28
29 Distributions.pdf(d::PowerPos, x::Real) = exp(logpdf(d, x))
30
31 # For vec support
32 function Distributions.loglikelihood(d::PowerPos, x::AbstractVector{<:Real})
33     T = float(eltype(x))
34     return any(xi ≤ 0 for xi in x) ? T(-Inf) : d.p*log(prod(x))
35 end
36
37 @doc PowerPos
```

Out[5]: PowerPos(p::Real)

The *positive power distribution* with real-valued parameter p is the improper distribution of real numbers that has the improper probability density function

$$f(x) = \begin{cases} 0 & \text{if } x \leq 0, \\ x^p & \text{otherwise.} \end{cases}$$

```
In [6]: 1 # 以下は使わないが,
2 # Flat() や PowerPos(p) と正規分布や逆ガンマ分布の関係は次のようになっている。
3
4 MyNormal(μ, σ) = σ == Inf ? Flat() : Normal(μ, σ)
5 MyInverseGamma(κ, θ) = θ == 0 ? PowerPos(-κ-1) : InverseGamma(κ, θ)
```

Out[6]: MyInverseGamma (generic function with 1 method)

1 正規分布モデルの共役事前分布とその応用

1.1 逆ガンマ正規分布

平均 $\mu \in \mathbb{R}$, 分散 $v = \sigma^2 \in \mathbb{R}_{>0}$ の正規分布の確率密度関数を次のように表す:

$$p_{\text{Normal}}(y|\mu, v) = \frac{1}{\sqrt{2\pi v}} \exp\left(-\frac{1}{2v}(y - \mu)^2\right) \quad (y \in \mathbb{R}).$$

分散パラメータ σ^2 を v に書き直している理由は, σ^2 を1つの変数として扱いたいからである。

パラメータ $\kappa, \theta > 0$ の逆ガンマ分布の確率密度関数を次のように書くことにする:

$$p_{\text{InverseGamma}}(v|\kappa, \theta) = \frac{\theta^\kappa}{\Gamma(\kappa)} v^{-\kappa-1} \exp\left(-\frac{\theta}{v}\right) \quad (v > 0).$$

v がこの逆ガンマ分布に従う確率変数だとすると,

$$\frac{1}{v} \sim \text{Gamma}\left(\kappa, \frac{1}{\theta}\right) = \frac{1}{2\theta} \text{Gamma}\left(\frac{2\kappa}{2}, 2\right) = \frac{1}{2\theta} \text{Chisq}(2\kappa),$$

$$E[v] = \frac{\theta}{\kappa - 1}, \quad \text{var}(v) = \frac{E[v]^2}{\kappa - 2}.$$

A と B が μ, v に関する定数因子の違いを除いて等しいことを $A \propto B$ と書くことにする.

逆ガンマ正規分布の密度関数を次のように定義する:

$$p_{\text{InverseGammaNormal}}(\mu, v | \mu_*, v_*, \kappa, \theta) = p_{\text{Normal}}(\mu | \mu_*, v_* v) p_{\text{InverseGamma}}(v | \kappa, \theta) \\ \propto v^{-(\kappa+1/2)-1} \exp\left(-\frac{1}{v} \left(\theta + \frac{1}{2v_*}(\mu - \mu_*)^2\right)\right).$$

この逆ガンマ正規分布の密度関数に従う確率変数を μ, v と書くと,

$$E[v] = \frac{\theta}{\kappa - 1}, \quad \text{var}(v) = \frac{E[v]^2}{\kappa - 2}, \quad \text{cov}(\mu, v) = 0, \quad E[\mu] = \mu_*, \quad \text{var}(\mu) = v_* E[v].$$

この逆ガンマ正規分布が正規分布の共役事前分布になっていることを次の節で確認する.

1.2 共役事前分布のBayes更新

データの数値 y_1, \dots, y_n が与えられたとき, 正規分布モデルの尤度関数は

$$\prod_{i=1}^n p_{\text{Normal}}(y_i | \mu, v) \propto v^{-n/2} \exp\left(-\frac{1}{2v} \sum_{i=1}^n (y_i - \mu)^2\right)$$

の形になる. このとき,

$$\bar{y} = \frac{1}{n} \sum_{i=1}^n y_i, \quad \hat{\sigma}^2 = \frac{1}{n} \sum_{i=1}^n (y_i - \bar{y})^2.$$

とおくと,

$$\sum_{i=1}^n (y_i - \mu)^2 = n(\mu - \bar{y})^2 + n\hat{\sigma}^2$$

なので, 尤度を最大化する μ, v は $\mu = \bar{y}, v = \hat{\sigma}^2$ になることがわかる.

さらに, 次が成立することもわかる:

$$\prod_{i=1}^n p_{\text{Normal}}(y_i | \mu, v) \times p_{\text{InverseGammaNormal}}(\mu, v | \mu_*, v_*, \kappa, \theta) \\ \propto v^{-n/2} \exp\left(-\frac{n}{2v}((\mu - \bar{y})^2 + \hat{\sigma}^2)\right) \times v^{-(\kappa+1/2)-1} \exp\left(-\frac{1}{v} \left(\theta + \frac{1}{2v_*}(\mu - \mu_*)^2\right)\right) \\ = v^{-(\kappa+n/2+1/2)-1} \exp\left(-\frac{1}{v} \left(\theta + \frac{n}{2} \left(\hat{\sigma}^2 + \frac{(\bar{y} - \mu_*)^2}{1 + nv_*}\right) + \frac{1 + nv_*}{2v_*} \left(\mu - \frac{\mu_* + nv_* \bar{y}}{1 + nv_*}\right)^2\right)\right).$$

ゆえに共役事前分布から得られる事後分布のパラメータは次のようになる:

$$\tilde{\kappa} = \kappa + \frac{n}{2} = \frac{n}{2} \left(1 + \frac{2\kappa}{n}\right),$$

$$\tilde{\theta} = \theta + \frac{n}{2} \left(\hat{\sigma}^2 + \frac{(\bar{y} - \mu_*)^2}{1 + nv_*}\right) = \frac{n\hat{\sigma}^2}{2} \left(1 + \frac{2\theta}{n\hat{\sigma}^2} + \frac{(\bar{y} - \mu_*)^2}{(1 + nv_*)\hat{\sigma}^2}\right),$$

$$\tilde{\mu}_* = \frac{\mu_* + nv_* \bar{y}}{1 + nv_*} = \bar{y} \frac{1 + \mu_*/(nv_* \bar{y})}{1 + 1/(nv_*)},$$

$$\tilde{v}_* = \frac{v_*}{1 + nv_*} = \frac{1}{n} \frac{1}{1 + 1/(nv_*)}.$$

```
In [7]: 1 function bayesian_update(μstar, vstar, κ, θ, n, ȳ, σ̂²)
2   μstar_new = (μstar/vstar + n*ȳ)/(1/vstar + n)
3   vstar_new = 1/(1/vstar + n)
4   κ_new = κ + n/2
5   θ_new = θ + (n/2)*(σ̂² + ((ȳ - μstar)^2/vstar)/(1/vstar + n))
6   μstar_new, vstar_new, κ_new, θ_new
7 end
8
9 function bayesian_update(μstar, vstar, κ, θ, y)
10   n, ȳ, σ̂² = length(y), mean(y), var(y; corrected=false)
11   bayesian_update(μstar, vstar, κ, θ, n, ȳ, σ̂²)
12 end
```

Out[7]: bayesian_update (generic function with 2 methods)

```
In [8]: 1 @vars n ȳ σ̂² μ v μ0 v0 κ θ
```

Out[8]: (n, ȳ, σ̂², μ, v, μ0, v0, κ, θ)

```
In [9]: 1 negloglik = n/2*log(v) + n/(2v)*((μ - ȳ)^2 + σ̂²)
```

Out[9]:
$$\frac{n \log(v)}{2} + \frac{n \left(\hat{v} + (-\bar{y} + \mu)^2 \right)}{2v}$$

```
In [10]: 1 neglogpri = (κ + 1/2 + 1)*log(v) + 1/v*(θ + 1/(2v0)*(μ-μ0)^2)
```

Out[10]:
$$\left(\kappa + \frac{3}{2} \right) \log(v) + \frac{\theta + \frac{(\mu - \mu_0)^2}{2v_0}}{v}$$

```
In [11]: 1 neglogpost = (κ + n/2 + 1/2 + 1)*log(v) + 1/v*(
2   θ + n/2*(σ̂² + 1/(1+n*v0)*(ȳ - μ0)^2) +
3   (1 + n*v0)/(2v0)*(μ - (μ0 + n*v0*ȳ)/(1 + n*v0))^2)
```

Out[11]:
$$\left(\frac{n}{2} + \kappa + \frac{3}{2} \right) \log(v) + \frac{\frac{n \left(\hat{v} + \frac{(\bar{y} - \mu_0)^2}{n v_0 + 1} \right)}{2} + \theta + \frac{\left(\mu - \frac{n v_0 \bar{y} + \mu_0}{n v_0 + 1} \right)^2 (n v_0 + 1)}{2 v_0}}{v}$$

```
In [12]: 1 simplify(negloglik + neglogpri - neglogpost)
```

Out[12]: 0

```
In [13]: 1 bayesian_update(μ0, v0, κ, θ, n, ȳ, σ̂²) ▷ collect
```

Out[13]:
$$\left[\begin{array}{c} \frac{n \bar{y} + \frac{\mu_0}{v_0}}{n + \frac{1}{v_0}} \\ \frac{1}{n + \frac{1}{v_0}} \\ \frac{\frac{n}{2} + \kappa}{2} \\ \frac{n \left(\hat{v} + \frac{(\bar{y} - \mu_0)^2}{v_0 \left(n + \frac{1}{v_0} \right)} \right)}{2} + \theta \end{array} \right]$$

1.3 μの周辺事前・事後分布および事前・事後予測分布

確率密度関数

$$p(\mu | \mu_*, v_*, \kappa, \theta) = \int_{\mathbb{R}_{>0}} p_{\text{InverseGammaNormal}}(\mu, v | \mu_*, v_*, \kappa, \theta) dv$$

で定義されるμの周辺事前分布は次になる:

$$\mu \sim \mu_* + \sqrt{\frac{\theta}{\kappa}} v_* \text{TDist}(2\kappa).$$

$$p_*(y_{\text{new}}|\mu_*, v_*, \kappa, \theta) = \iint_{\mathbb{R} \times \mathbb{R}_{>0}} p_{\text{Normal}}(y_{\text{new}}|\mu, v) p_{\text{InverseGammaNormal}}(\mu, v|\mu_*, v_*, \kappa, \theta) d\mu dv$$

で定義される y_{new} の事前予測分布は次になる:

$$y_{\text{new}} \sim \mu_* + \sqrt{\frac{\theta}{\kappa}(1 + v_*)} \text{TDist}(2\kappa).$$

パラメータをBayes更新後のパラメータ

$$\begin{aligned}\tilde{\kappa} &= \kappa + \frac{n}{2} = \frac{n}{2} \left(1 + \frac{2\kappa}{n}\right), \\ \tilde{\theta} &= \theta + \frac{n}{2} \left(\hat{\sigma}^2 + \frac{(\bar{y} - \mu_*)^2}{1 + nv_*} \right) = \frac{n\hat{\sigma}^2}{2} \left(1 + \frac{2\theta}{n\hat{\sigma}^2} + \frac{(\bar{y} - \mu_*)^2}{(1 + nv_*)\hat{\sigma}^2} \right), \\ \tilde{\mu}_* &= \frac{\mu_* + nv_*\bar{y}}{1 + nv_*} = \bar{y} \frac{1 + \mu_*/(nv_*)}{1 + 1/(nv_*)}, \\ \tilde{v}_* &= \frac{v_*}{1 + nv_*} = \frac{1}{n} \frac{1}{1 + 1/(nv_*)}.\end{aligned}$$

に置き換えればこれは μ の周辺事後分布および事後予測分布になる.

その事後分布を使った区間推定の幅は

- n が大きいほど狭くなる.
- κ が大きいほど狭くなる.
- θ が大きいほど広くなる.
- $|\bar{y} - \mu_*|/\hat{\sigma}$ が大きいほど広くなる.
- $|\bar{y} - \mu_*|/\hat{\sigma}$ が大きくても, v_* がさらに大きければ狭くなる.

In [14]:

```
1 posterior_mu(mu_star, v_star, kappa, theta) = mu_star + sqrt(theta/kappa*v_star)*TDist(2*kappa)
2 preddist(mu_star, v_star, kappa, theta) = mu_star + sqrt(theta/kappa*(1 + v_star))*TDist(2*kappa)
```

Out[14]: preddist (generic function with 1 method)

1.4 Jeffreys事前分布の場合

パラメータ空間が $\{(\mu, v) = (\mu, \sigma^2) \in \mathbb{R} \times \mathbb{R}_{>0}\}$ の2次元の正規分布モデルのJeffreys事前分布 $p_{\text{Jeffreys}}(\mu, v)$ は

$$p_{\text{Jeffreys}}(\mu, v) \propto v^{-3/2}$$

になることが知られている. ただし, 右辺の $(\mu, v) \in \mathbb{R} \times \mathbb{R}_{>0}$ に関する積分は ∞ になるので, この場合のJeffreys事前分布は improperである.

逆ガンマ正規分布の密度関数

$$p_{\text{InverseGammaNormal}}(\mu, v|\mu_*, v_*, \kappa, \theta) \propto v^{-(\kappa+1/2)-1} \exp\left(-\frac{1}{v}\left(\theta + \frac{1}{2v_*}(\mu - \mu_*)^2\right)\right).$$

と比較すると, Jeffreys事前分布に対応する共役事前分布のパラメータ値は形式的に次になることがわかる:

$$\kappa \rightarrow 0, \quad \theta \rightarrow 0, \quad v_* \rightarrow \infty.$$

そのとき, Bayes更新後のパラメータの公式は次のようにシンプルになる:

$$\tilde{\kappa} = \frac{n}{2}, \quad \tilde{\theta} = \frac{n\hat{\sigma}^2}{2}, \quad \tilde{\mu}_* = \bar{y}, \quad \tilde{v}_* = \frac{1}{n}.$$

さらに, 前節の公式から, $n \rightarrow \infty$ のとき, 一般のパラメータ値に関するBayes更新の結果は, $n \rightarrow \infty$ のとき漸近的にこのJeffreys事前分布の場合に一致する.

さらに, Jeffreys事前分布の場合には

$$\frac{\tilde{\theta}}{\tilde{\kappa}} = \hat{\sigma}^2, \quad \tilde{v}_* = \frac{1}{n}, \quad 2\tilde{\kappa} = n.$$

ゆえに, μ に関する周辺事後分布は

$$\mu \sim \bar{y} + \frac{\hat{\sigma}}{\sqrt{n}} \text{TDist}(n)$$

になり, 事後予測分布は次になる:

$$y_{\text{new}} \sim \bar{y} + \hat{\sigma} \sqrt{1 + \frac{1}{n}} \text{TDist}(n).$$

```
In [15]: 1 prior_jeffreys() = 0.0, Inf, 0.0, 0.0
2
3 posterior_μ_jeffreys(n, ȳ, σ̂²) = ȳ + √(σ̂²/n)*TDist(n)
4
5 function posterior_μ_jeffreys(y)
6     n, ȳ, σ̂² = length(y), mean(y), var(y; corrected=false)
7     posterior_μ_jeffreys(n, ȳ, σ̂²)
8 end
9
10 preddist_jeffreys(n, ȳ, σ̂²) = ȳ + √(σ̂²*(1+1/n))*TDist(n)
11
12 function preddist_jeffreys(y)
13     n, ȳ, σ̂² = length(y), mean(y), var(y; corrected=false)
14     preddist_jeffreys(n, ȳ, σ̂²)
15 end
```

Out[15]: preddist_jeffreys (generic function with 2 methods)

```
In [16]: 1 μ_true, σ_true, n = 10, 3, 5
2 @show dist_true = Normal(μ_true, σ_true) n
3 y = rand(Normal(μ_true, σ_true), n)

dist_true = Normal{Float64}(μ=10.0, σ=3.0)
n = 5
```

Out[16]: 5-element Vector{Float64}:
13.421461823230711
10.091318547559782
9.114689343604514
8.142099605865505
12.850119689447698

```
In [17]: 1 n, ȳ, σ̂² = length(y), mean(y), var(y; corrected=false)
```

Out[17]: (5, 10.723937801941641, 4.290612291316625)

```
In [18]: 1 post_μ = posterior_μ(bayesian_update(prior_jeffreys()..., y)...)

```

Out[18]: LocationScale{Float64, Continuous, TDist{Float64}}(
μ: 10.723937801941641
σ: 0.926348993772501
ρ: TDist{Float64}(v=5.0)
)

```
In [19]: 1 posterior_μ_jeffreys(y) ≈ post_μ
```

Out[19]: true

1.5 Jeffreys事前分布の場合の結果の数値的確認

```

In [20]: 1 # プロット用関数
2
3 function plot_posterior_μ(chn, y, postμ_theoretical;
4     xlim = quantile.(postμ_theoretical, (0.0001, 0.9999)), kwargs...)
5     postμ_ttest = posterior_μ_ttest(y)
6     plot(legend=:outertop)
7     if !isnothing(chn)
8         stephist!(vec(chn[:μ]); norm=true,
9             label="MCMC posterior of μ", c=1)
10    end
11    plot!(postμ_theoretical, xlim...;
12        label="theoretical posterior of μ", c=2, ls=:dash)
13    plot!(postμ_ttest, xlim...;
14        label="ȳ+√(s²/n)TDist(n-1)", c=3, ls=:dashdot)
15    plot!(; xlim, kwargs...)
16 end
17
18 function plot_preddist(chn, y, pred_theoretical;
19     xlim = quantile.(pred_theoretical, (0.0001, 0.9999)), kwargs...)
20     pdf_pred(y_new) = mean(pdf(Normal(μ, √σ²), y_new)
21         for (μ, σ²) in zip(vec(chn[:μ]), vec(chn[:σ²])))
22     pred_ttest = preddist_ttest(y)
23
24     plot(legend=:outertop)
25     if !isnothing(chn)
26         plot!(pdf_pred, xlim...; label="MCMC prediction", c=1)
27     end
28     plot!(pred_theoretical, xlim...;
29         label="theoretical prediction", c=2, ls=:dash)
30     plot!(pred_ttest, xlim...;
31         label="ȳ+√(s²(1+1/n))TDist(n-1)", c=3, ls=:dashdot)
32     plot!(; kwargs...)
33 end

```

Out[20]: plot_preddist (generic function with 1 method)

```

In [21]: 1 @model function normaldistmodel_jeffreys(y)
2     σ² ~ PowerPos(-3/2)
3     μ ~ Flat()
4     y ~ MvNormal(fill(μ, length(y)), σ²*I)
5 end

```

Out[21]: normaldistmodel_jeffreys (generic function with 2 methods)

```

In [22]: 1 μ_true, σ_true, n = 1e4, 1e2, 5
2 @show dist_true = Normal(μ_true, σ_true) n
3 y = rand(Normal(μ_true, σ_true), n)

dist_true = Normal(μ_true, σ_true) = Normal{Float64}(μ=10000.0, σ=100.0)
n = 5

```

Out[22]: 5-element Vector{Float64}:
10046.991358602998
10090.945260495413
10031.966223927362
10049.736827492683
9902.696010134123


```
In [23]: 1 L = 10^5
2 n_threads = min(Threads.nthreads(), 10)
3 chn = sample(normaldistmodel_jeffreys(y), NUTS(), MCMCThreads(), L, n_threads);
```

```
└ @ AdvancedHMC D:\.julia\packages\AdvancedHMC\51xgc\src\hamiltonian.jl:47
Warning: The current proposal will be rejected due to numerical error(s).
└ isfinite.((θ, r, ℓπ, ℓκ)) = (true, false, false, false)
└ @ AdvancedHMC D:\.julia\packages\AdvancedHMC\51xgc\src\hamiltonian.jl:47
Warning: The current proposal will be rejected due to numerical error(s).
└ isfinite.((θ, r, ℓπ, ℓκ)) = (true, false, false, false)
└ @ AdvancedHMC D:\.julia\packages\AdvancedHMC\51xgc\src\hamiltonian.jl:47
Warning: The current proposal will be rejected due to numerical error(s).
└ isfinite.((θ, r, ℓπ, ℓκ)) = (true, false, false, false)
└ @ AdvancedHMC D:\.julia\packages\AdvancedHMC\51xgc\src\hamiltonian.jl:47
Warning: The current proposal will be rejected due to numerical error(s).
└ isfinite.((θ, r, ℓπ, ℓκ)) = (true, false, false, false)
└ @ AdvancedHMC D:\.julia\packages\AdvancedHMC\51xgc\src\hamiltonian.jl:47
Warning: The current proposal will be rejected due to numerical error(s).
└ isfinite.((θ, r, ℓπ, ℓκ)) = (true, false, false, false)
└ @ AdvancedHMC D:\.julia\packages\AdvancedHMC\51xgc\src\hamiltonian.jl:47
Warning: The current proposal will be rejected due to numerical error(s).
└ isfinite.((θ, r, ℓπ, ℓκ)) = (true, false, false, false)
└ @ AdvancedHMC D:\.julia\packages\AdvancedHMC\51xgc\src\hamiltonian.jl:47
Warning: The current proposal will be rejected due to numerical error(s).
└ isfinite.((θ, r, ℓπ, ℓκ)) = (true, false, false, false)
```

```
In [24]: 1 chn
```

Out[24]: Chains MCMC chain (100000×14×10 Array{Float64, 3}):

```
Iterations          = 1001:1:101000
Number of chains    = 10
Samples per chain   = 100000
Wall duration       = 26.53 seconds
Compute duration    = 240.38 seconds
parameters          = σ², μ
internals            = lp, n_steps, is_accept, acceptance_rate, log_density, hamiltonian_energy, ha
miltonian_energy_error, max_hamiltonian_energy_error, tree_depth, numerical_error, step_size, no
m_step_size
```

Summary Statistics

parameters	mean	std	naive_se	mcse	ess	rhat	ess_per_sec
Symbol	Float64	Float64	Float64	Float64	Float64	Float64	Float64
σ²	6842.6405	9896.2407	9.8962	18.8615	268961.4025	1.0000	1118.9009
μ	10024.4777	37.0518	0.0371	0.0625	338589.4340	1.0000	1408.5591

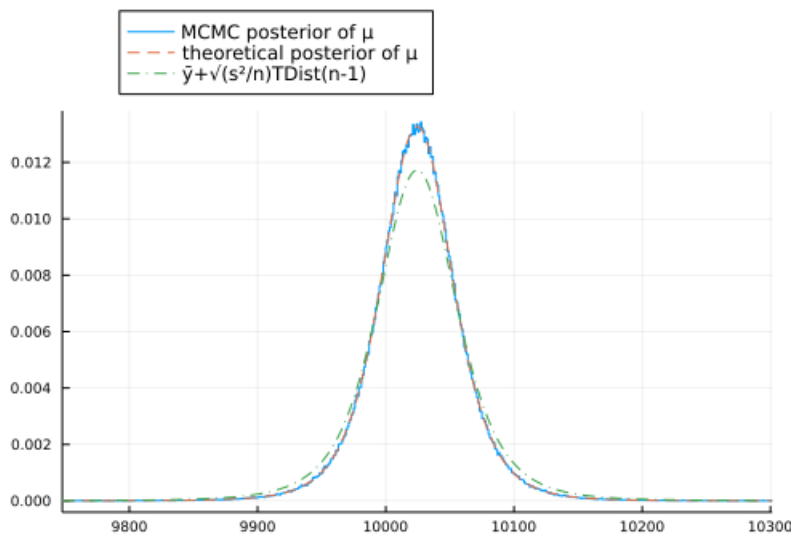
Quantiles

parameters	2.5%	25.0%	50.0%	75.0%	97.5%
Symbol	Float64	Float64	Float64	Float64	Float64
σ²	1589.0321	3084.0481	4695.9500	7648.9445	24776.7344
μ	9950.8760	10003.7177	10024.5403	10045.2740	10097.9316

```
In [25]: 1 @show confint_ttest(y);
confint_ttest(y) = [9935.686679038185, 10113.24759322285]
```

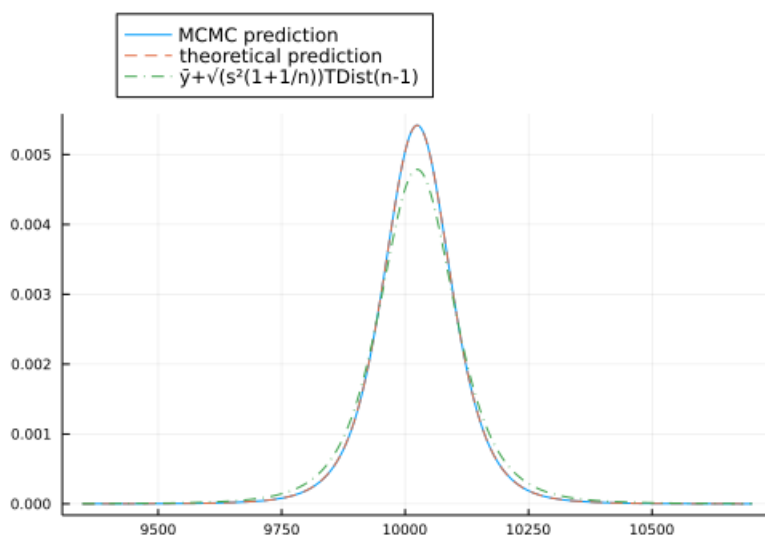
```
In [26]: 1 postμ_theoretical = posterior_μ_jeffreys(y)
2 plot_posterior_μ(chn, y, postμ_theoretical)
```

Out[26]:



```
In [27]: 1 pred_theoretical = preddist_jeffreys(y)
2 plot_preddist(chn, y, pred_theoretical)
```

Out[27]:



1.6 平均と対数分散について一様な事前分布の場合

平均 μ と分散の対数 $\log v = \log \sigma^2$ に関する一様な事前分布は

$$p_{\text{flat}}(\mu, v) \propto v^{-1}$$

になる。ただし、右辺の $(\mu, v) \in \mathbb{R} \times \mathbb{R}_{>0}$ に関する積分は ∞ になるので、この事前分布はimproperである。

逆ガンマ正規分布の密度関数

$$p_{\text{InverseGammaNormal}}(\mu, v | \mu_*, v_*, \kappa, \theta) \propto v^{-(\kappa+1/2)-1} \exp\left(-\frac{1}{v} \left(\theta + \frac{1}{2v_*}(\mu - \mu_*)^2\right)\right).$$

と比較すると、平均と対数分散について一様な事前分布に対応する共役事前分布のパラメータ値は形式的に次になることがわかる:

$$\kappa \rightarrow -\frac{1}{2}, \quad \theta \rightarrow 0, \quad v_* \rightarrow \infty.$$

このとき、Bayes更新後のパラメータの公式は次のようになる:

$$\tilde{\kappa} = \frac{n-1}{2}, \quad \tilde{\theta} = \frac{n\hat{\sigma}^2}{2}, \quad \tilde{\mu}_* = \bar{y}, \quad \tilde{v}_* = \frac{1}{n}.$$

この場合には

$$\frac{\tilde{\theta}}{\tilde{\kappa}} = \frac{n\hat{\sigma}^2}{n-1} = s^2, \quad \tilde{v}_* = \frac{1}{n}, \quad 2\tilde{\kappa} = n-1.$$

ここで、 s^2 はデータの数値 y_1, \dots, y_n の不偏分散

$$s^2 = \frac{1}{n-1} \sum_{i=1}^n (y_i - \bar{y})^2 = \frac{n\hat{\sigma}^2}{n-1} > \hat{\sigma}^2$$

であり、 s はその平方根である。

ゆえに、 μ に関する周辺事後分布は

$$\mu \sim \bar{y} + \frac{s}{\sqrt{n}} \text{TDist}(n-1)$$

になり、 y_{new} に関する事後予測分布は次になる:

$$y_{\text{new}} \sim \bar{y} + s \sqrt{1 + \frac{1}{n}} \text{TDist}(n-1).$$

したがって、前節の結果と比較すると、Jeffreys事前分布の事後分布と予測分布による区間推定よりもこの場合の区間推定は少し広くなる。

```
In [28]: 1 prior_flat() = 0.0, Inf, -1/2, 0.0
          2
          3 posterior_mu_flat(n, y_bar, s^2) = y_bar + sqrt(s^2/n)*TDist(n-1)
          4
          5 function posterior_mu_flat(y)
          6     n, y_bar, s^2 = length(y), mean(y), var(y)
          7     posterior_mu_flat(n, y_bar, s^2)
          8 end
          9
          10 pred_dist_flat(n, y_bar, s^2) = y_bar + sqrt(s^2*(1+1/n))*TDist(n-1)
          11
          12 function pred_dist_flat(y)
          13     n, y_bar, s^2 = length(y), mean(y), var(y)
          14     pred_dist_flat(n, y_bar, s^2)
          15 end
```

Out[28]: pred_dist_flat (generic function with 2 methods)

```
In [29]: 1 y = rand(Normal(10, 3), 5)
          2 @show dist_true = Normal(mu_true, sigma_true) n
          3 n, y_bar, s^2 = length(y), mean(y), var(y)

dist_true = Normal(mu_true, sigma_true) = Normal{Float64}(mu=10000.0, sigma=100.0)
n = 5
```

Out[29]: (5, 9.547963580248759, 4.072331700326717)


```
In [35]: 1 chn
```

Out[35]: Chains MCMC chain (100000×14×10 Array{Float64, 3}):

Iterations = 1001:1:101000
Number of chains = 10
Samples per chain = 100000
Wall duration = 19.96 seconds
Compute duration = 165.38 seconds
parameters = σ^2 , μ
internals = lp, n_steps, is_accept, acceptance_rate, log_density, hamiltonian_energy, hamiltonian_energy_error, max_hamiltonian_energy_error, tree_depth, numerical_error, step_size, min_step_size

Summary Statistics

parameters	mean	std	naive_se	mcse	ess	rhat	ess_per_se
c							
Symbol	Float64	Float64	Float64	Float64	Float64	Float64	Float64
4							
σ^2	6432.2097	16654.5449	16.6545	41.5589	155370.8686	1.0000	939.506
4							
μ	10000.2627	36.0629	0.0361	0.0714	251118.1140	1.0000	1518.476
9							

Quantiles

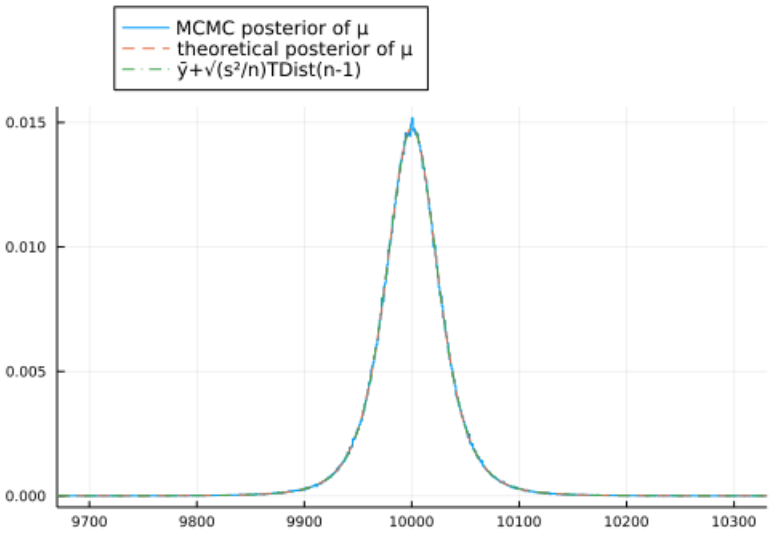
parameters	2.5%	25.0%	50.0%	75.0%	97.5%
Symbol	Float64	Float64	Float64	Float64	Float64
σ^2	1153.4809	2388.5418	3834.0137	6685.0097	26551.8170
μ	9929.8062	9981.5035	10000.3199	10019.0844	10070.3459

```
In [36]: 1 @show confint_ttest(y);
```

confint_ttest(y) = [9929.949145045925, 10070.69901135884]

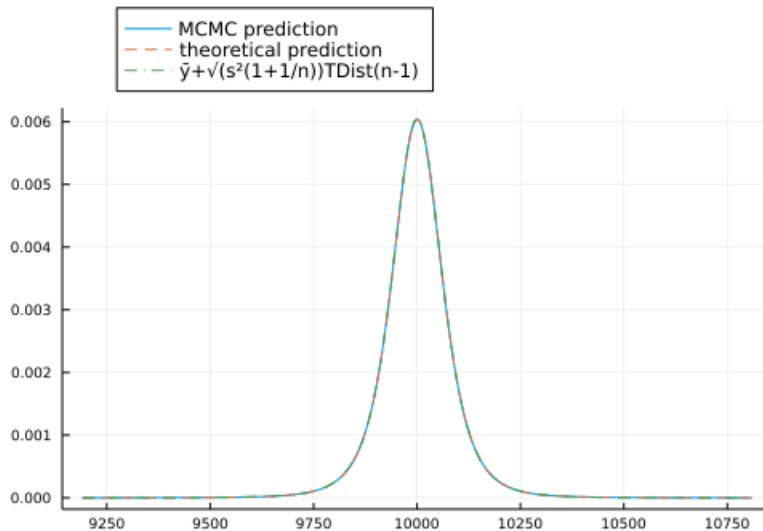
```
In [37]: 1 postμ_theoretical = posterior_μ_flat(y)
2 plot_posterior_μ(chn, y, postμ_theoretical)
```

Out[37]:



```
In [38]: 1 pred_theoretical = preddist_flat(y)
         2 plot_preddist(chn, y, pred_theoretical)
```

Out[38]:



1.8 通常の信頼区間と予測区間との比較

通常の t 分布を使う平均の信頼区間と次の値の予測区間の構成では以下を使う:

$$\frac{\bar{y} - \mu}{s/\sqrt{n}} \sim \text{TDist}(n-1), \quad \frac{y_{\text{new}} - \bar{y}}{s\sqrt{1+1/n}} \sim \text{TDist}(n-1).$$

ここで, s^2 はデータの数値の不偏分散であり, s はその平方根である.

したがって, 前節の結果と比較すると, 通常の信頼区間と予測区間は, 平均と対数分散に関する一様事前分布に関する事後分布と予測分布を用いた区間推定に一致する.

1.9 データの数値から事前分布を決めた場合

$a, b > 0$ であると仮定する.

データの数値から共役事前分布のパラメータを次の条件によって決めたと仮定する:

$$E[\mu] = \mu_* = \bar{y}, \quad E[v] = \frac{\theta}{\kappa - 1} = \hat{\sigma}^2, \quad \text{var}(\mu) = v_* E[v] = a \hat{\sigma}^2, \quad \text{var}(v) = \frac{E[v]^2}{\kappa - 2} = b \hat{\sigma}^4.$$

これは次と同値である:

$$\mu_* = \bar{y}, \quad v_* = a, \quad \kappa = 2 + \frac{1}{b}, \quad \theta = \hat{\sigma}^2 \left(1 + \frac{1}{b}\right).$$

このパラメータ値に対応する共役事前分布を以下では **適応事前分布** (adaptive prior) と呼ぶことにする(注意: ここだけの用語).

これのBayes更新の結果は以下ようになる:

$$\begin{aligned}\tilde{\kappa} &= 2 + \frac{1}{b} + \frac{n}{2} = \frac{n}{2} \left(1 + \frac{2(2 + 1/b)}{n} \right) && \rightarrow 2 + \frac{n}{2}, \\ \tilde{\theta} &= \hat{\sigma}^2 \left(1 + \frac{1}{b} + \frac{n}{2} \right) + \frac{n}{2} \frac{(\bar{y} - \bar{y})^2}{1 + na} = \frac{n\hat{\sigma}^2}{2} \left(1 + \frac{2(1 + 1/b)}{n} \right) && \rightarrow \hat{\sigma}^2 \left(1 + \frac{n}{2} \right), \\ \tilde{\mu}_* &= \frac{\bar{y} + nv_*\bar{y}}{1 + nv_*} = \bar{y} && \rightarrow \bar{y}, \\ \tilde{v}_* &= \frac{a}{1 + na} = \frac{1}{n} \frac{1}{1 + 1/(na)} && \rightarrow \frac{1}{n}.\end{aligned}$$

以上における \rightarrow は $a \rightarrow \infty, b \rightarrow \infty$ での極限を意味する.

適応事前分布の構成のポイントは, $\mu_* = \bar{y}$ となっているおかげで, $\tilde{\mu}_*$ も $\tilde{\mu}_* = \bar{y}$ となってバイアスが消え, さらに, $\tilde{\theta}$ の中の $\frac{n}{2} \frac{(\bar{y} - \mu_*)^2}{1 + na}$ の項が消えて, 区間推定の幅が無用に広くならず済むことである.

ただし, 適応事前分布の場合には

$$\frac{\tilde{\theta}}{\tilde{\kappa}} = \hat{\sigma}^2 \frac{1 + 2(1 + 1/b)/n}{1 + 2(2 + 1/b)/n} < \hat{\sigma}^2, \quad v_* = \frac{1}{n} \frac{1}{1 + 1/(na)} < \frac{1}{n}$$

なので, 区間推定の幅はJeffreys事前分布の場合よりも少し狭くなる.

しかし, n が大きければそれらの違いは小さくなる.

```
In [39]: 1 function prior_adaptive(n, y, sigma2; a = 2.5, b = 2.5)
2         mu_star = y
3         v_star = a
4         kappa = 2 + 1/b
5         theta = sigma2*(1 + 1/b)
6         mu_star, v_star, kappa, theta
7     end
8
9     function prior_adaptive(y; a = 2.5, b = 2.5)
10         n, y, sigma2 = length(y), mean(y), var(y; corrected=false)
11         prior_adaptive(n, y, sigma2; a, b)
12     end
13
14     function posterior_adaptive(n, y, sigma2; a = 2.5, b = 2.5)
15         mu_star = y
16         v_star = 1/(1/a + n)
17         kappa = 2 + 1/b + n/2
18         theta = sigma2*(1 + 1/b + n/2)
19         mu_star, v_star, kappa, theta
20     end
21
22     function posterior_adaptive(y; a = 2.5, b = 2.5)
23         n, y, sigma2 = length(y), mean(y), var(y; corrected=false)
24         posterior_adaptive(n, y, sigma2; a, b)
25     end
```

Out[39]: posterior_adaptive (generic function with 2 methods)

```
In [40]: 1 mu_true, sigma_true, n = 1e4, 1e2, 5
2 @show dist_true = Normal(mu_true, sigma_true) n
3 y = rand(Normal(mu_true, sigma_true), n)

dist_true = Normal(mu_true, sigma_true) = Normal{Float64}(mu=10000.0, sigma=100.0)
n = 5
```

Out[40]: 5-element Vector{Float64}:
9933.795478608836
10197.691591107683
9873.296478779508
9968.595731251091
9775.778787905336

```
In [41]: 1 n, y, sigma2 = length(y), mean(y), var(y; corrected=false)
```

Out[41]: (5, 9949.831613530489, 19639.166236215202)

```
In [42]: 1 μstar, vstar, κ, θ = prior_adaptive(y)
2 a, b = 2.5, 2.5
3 @show  $\bar{y}$ ,  $\hat{\sigma}^2$ ,  $a\hat{\sigma}^2$ ,  $b\hat{\sigma}^2$ 
4 ( $\bar{y}$ ,  $\hat{\sigma}^2$ ,  $a\hat{\sigma}^2$ ,  $b\hat{\sigma}^2$ )  $\approx$  (μstar, θ/(κ - 1), (θ/(κ - 1))*vstar, (θ/(κ - 1))^2/(κ - 2))

( $\bar{y}$ ,  $\hat{\sigma}^2$ ,  $a * \hat{\sigma}^2$ ,  $b * \hat{\sigma}^2$ ) = (9949.831613530489, 19639.166236215202, 49097.915590538, 9.64242126134238e8)
```

Out[42]: (true, true, true, true)

```
In [43]: 1 posterior_adaptive(n,  $\bar{y}$ ,  $\hat{\sigma}^2$ )
```

Out[43]: (9949.831613530489, 0.18518518518518517, 4.9, 76592.74832123928)

```
In [44]: 1 bayesian_update(prior_adaptive(y)..., y)
```

Out[44]: (9949.831613530489, 0.18518518518518517, 4.9, 76592.74832123928)

```
In [45]: 1 posterior_adaptive(y)
```

Out[45]: (9949.831613530489, 0.18518518518518517, 4.9, 76592.74832123928)

```
In [46]: 1 posterior_adaptive(y)  $\approx$  bayesian_update(prior_adaptive(y)..., y)
```

Out[46]: (true, true, true, true)

1.10 $n = 5$ では適応事前分布の場合と無情報事前分布の場合の結果が結構違う.

```
In [47]: 1 @model function normaldistmodel_adaptive(y; a = 2.5, b = 2.5)
2     μstar, vstar, κ, θ = prior_adaptive(y; a, b)
3      $\sigma^2 \sim \text{InverseGamma}(\kappa, \theta)$ 
4      $\mu \sim \text{Normal}(\mu\text{star}, \sqrt{v\text{star} * \sigma^2})$ 
5      $y \sim \text{MvNormal}(\text{fill}(\mu, \text{length}(y)), \sigma^2 * I)$ 
6 end
```

Out[47]: normaldistmodel_adaptive (generic function with 2 methods)

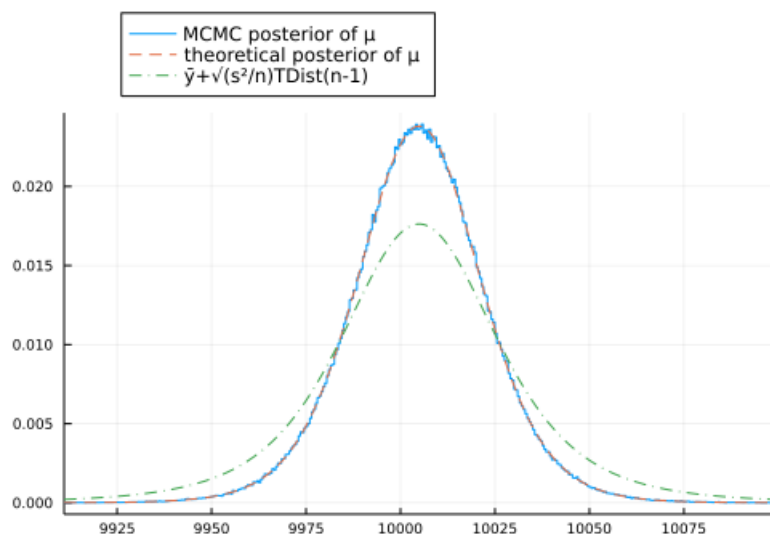
```
In [48]: 1 μ_true, σ_true, n = 1e4, 1e2, 5
2 @show dist_true = Normal(μ_true, σ_true) n
3 y = rand(Normal(μ_true, σ_true), n)
```

```
dist_true = Normal(μ_true, σ_true) = Normal{Float64}(μ=10000.0, σ=100.0)
n = 5
```

Out[48]: 5-element Vector{Float64}:
10030.5799588623
9998.014042880812
10059.31532070359
10005.17272597195
9931.520071491572

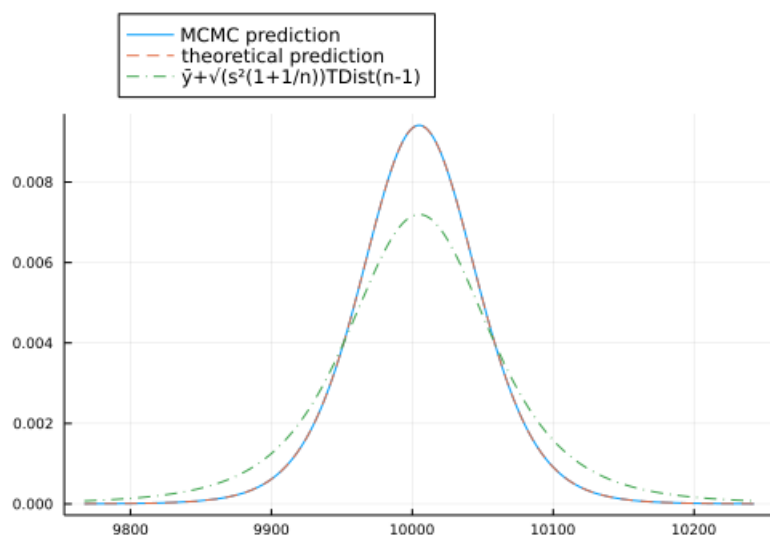

```
In [52]: 1 postμ_theoretical = posterior_μ(posterior_adaptive(y)...)
         2 plot_posterior_μ(chn, y, postμ_theoretical)
```

Out[52]:



```
In [53]: 1 pred_theoretical = preddist(posterior_adaptive(y)...)
         2 plot_preddist(chn, y, pred_theoretical)
```

Out[53]:



以上のように $n = 5$ の場合には、適応事前分布の場合の結果は無情報事前分布の場合の結果(緑のdashdotライン)とかなり違う。

1.11 $n = 20$ ではデフォルト事前分布の場合と無情報事前分布の場合の結果が近づく。

```
In [54]: 1 μ_true, σ_true, n = 1e4, 1e2, 20
2 @show dist_true = Normal(μ_true, σ_true)
3 y = rand(dist_true, n)
4 @show length(y) mean(y) var(y);
```

```
dist_true = Normal( $\mu_{\text{true}}$ ,  $\sigma_{\text{true}}$ ) = Normal{Float64}( $\mu=10000.0$ ,  $\sigma=100.0$ )
length(y) = 20
mean(y) = 10021.312271029448
var(y) = 13942.23507271364
```

```
In [55]: 1 L = 10^5
          2 n_threads = min(Threads.nthreads(), 10)
          3 chn = sample(normaldistmodel_adaptive(y), NUTS(), MCMCThreads(), L, n_threads);
```

```
Warning: The current proposal will be rejected due to numerical error(s).
  isfinite.(( $\theta$ ,  $r$ ,  $\ell\pi$ ,  $\ell\kappa$ )) = (true, false, false, false)
@ AdvancedHMC D:\.julia\packages\AdvancedHMC\51xgc\src\hamiltonian.jl:47
Warning: The current proposal will be rejected due to numerical error(s).
  isfinite.(( $\theta$ ,  $r$ ,  $\ell\pi$ ,  $\ell\kappa$ )) = (true, false, false, false)
@ AdvancedHMC D:\.julia\packages\AdvancedHMC\51xgc\src\hamiltonian.jl:47
Warning: The current proposal will be rejected due to numerical error(s).
  isfinite.(( $\theta$ ,  $r$ ,  $\ell\pi$ ,  $\ell\kappa$ )) = (true, false, false, false)
@ AdvancedHMC D:\.julia\packages\AdvancedHMC\51xgc\src\hamiltonian.jl:47
Warning: The current proposal will be rejected due to numerical error(s).
  isfinite.(( $\theta$ ,  $r$ ,  $\ell\pi$ ,  $\ell\kappa$ )) = (true, false, false, false)
@ AdvancedHMC D:\.julia\packages\AdvancedHMC\51xgc\src\hamiltonian.jl:47
Warning: The current proposal will be rejected due to numerical error(s).
  isfinite.(( $\theta$ ,  $r$ ,  $\ell\pi$ ,  $\ell\kappa$ )) = (true, false, false, false)
@ AdvancedHMC D:\.julia\packages\AdvancedHMC\51xgc\src\hamiltonian.jl:47
Warning: The current proposal will be rejected due to numerical error(s).
  isfinite.(( $\theta$ ,  $r$ ,  $\ell\pi$ ,  $\ell\kappa$ )) = (true, false, false, false)
@ AdvancedHMC D:\.julia\packages\AdvancedHMC\51xgc\src\hamiltonian.jl:47
Warning: The current proposal will be rejected due to numerical error(s).
  isfinite.(( $\theta$ ,  $r$ ,  $\ell\pi$ ,  $\ell\kappa$ )) = (true, false, false, false)
```

```
In [56]: 1 chn
```

```
Out[56]: Chains MCMC chain (100000x14x10 Array{Float64, 3}):
```

```

Iterations          = 1001:1:101000
Number of chains    = 10
Samples per chain   = 100000
Wall duration       = 15.84 seconds
Compute duration    = 151.17 seconds
parameters          =  $\sigma^2$ ,  $\mu$ 
internals           = lp, n_steps, is_accept, acceptance_rate, log_density, hamiltonian_energy, ha
miltonian_energy_error, max_hamiltonian_energy_error, tree_depth, numerical_error, step_size, no
m_step_size

```

Summary Statistics

parameters	mean	std	naive_se	mcse	ess	rhat	ess_per_sec
Symbol	Float64	Float64	Float64	Float64	Float64	Float64	Float64
σ^2	13252.0016	4113.1679	4.1132	4.6948	725981.9288	1.0000	4802.4842
μ	10021.3589	25.5266	0.0255	0.0282	833465.2790	1.0000	5513.5034

Quantiles

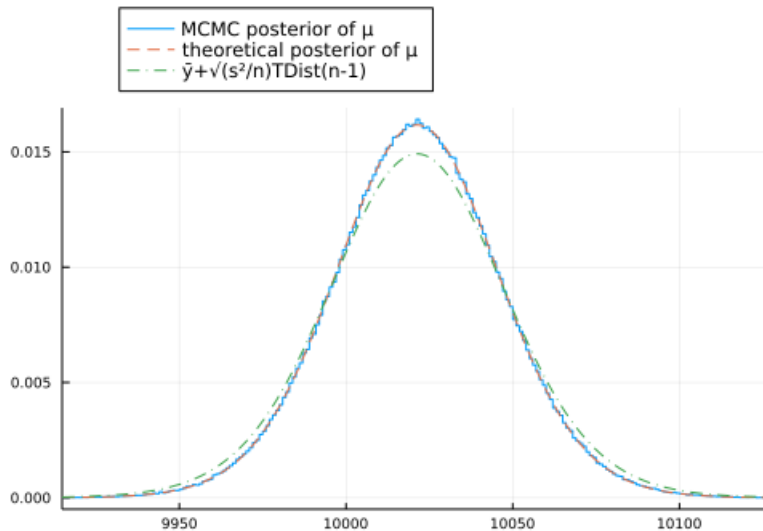
parameters	2.5%	25.0%	50.0%	75.0%	97.5%
Symbol	Float64	Float64	Float64	Float64	Float64
σ^2	7475.8314	10373.7813	12516.5525	15294.5654	23285.6434
μ	9970.8576	10004.6664	10021.3395	10038.0758	10071.8367

```
In [57]: 1 @show confint_ttest(y);
```

```
confint_ttest(y) = [9966.05042071424, 10076.574121344656]
```

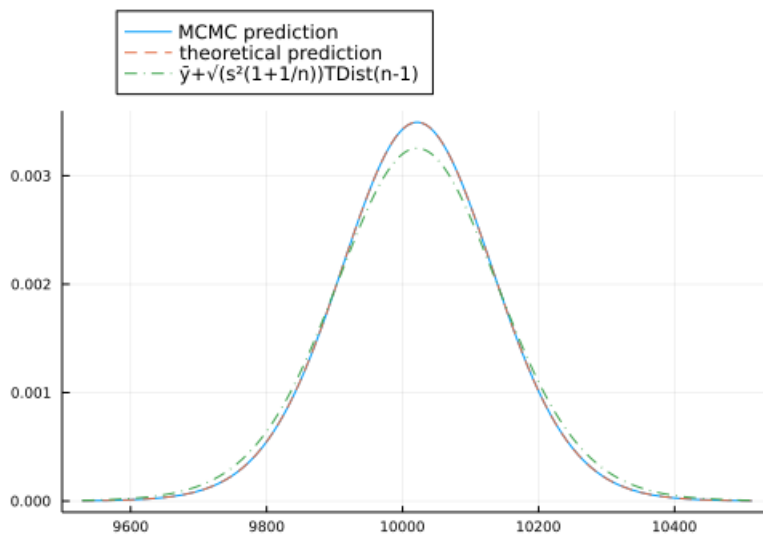
```
In [58]: 1 postμ_theoretical = posterior_μ(posterior_adaptive(y)...)
2 plot_posterior_μ(chn, y, postμ_theoretical)
```

Out[58]:



```
In [59]: 1 pred_theoretical = preddist(posterior_adaptive(y)...)
2 plot_preddist(chn, y, pred_theoretical)
```

Out[59]:



1.12 n = 20 で事前分布とデータの数値の相性が悪い場合

```
In [60]: 1 @model function normaldistmodel(y, μstar, vstar, κ, θ)
2     σ² ~ InverseGamma(κ, θ)
3     μ ~ Normal(μstar, √(vstar * σ²))
4     y ~ MvNormal(fill(μ, length(y)), σ²*I)
5 end
```

Out[60]: normaldistmodel (generic function with 2 methods)


```
In [64]: 1 chn
```

Out[64]: Chains MCMC chain (100000×14×10 Array{Float64, 3}):

Iterations = 1001:1:101000
Number of chains = 10
Samples per chain = 100000
Wall duration = 19.88 seconds
Compute duration = 193.25 seconds
parameters = σ^2 , μ
internals = lp, n_steps, is_accept, acceptance_rate, log_density, hamiltonian_energy, hamiltonian_energy_error, max_hamiltonian_energy_error, tree_depth, numerical_error, step_size, num_m_step_size

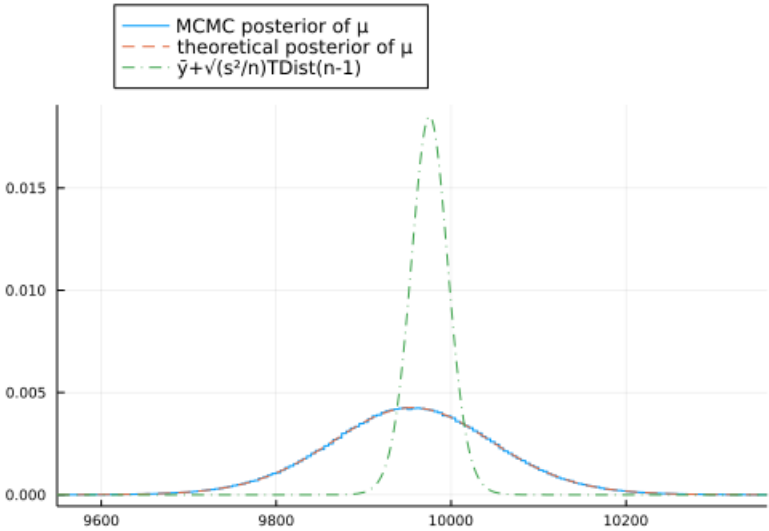
Summary Statistics								
parameters		mean	std	naive_se	mcse	ess	rhat	ess_per_s
ec	Symbol	Float64	Float64	Float64	Float64	Float64	Float64	Float
64								
	σ^2	187678.3265	59231.3056	59.2313	66.8673	754361.6817	1.0000	3903.61
39								
	μ	9955.3048	96.8643	0.0969	0.1054	865190.5498	1.0000	4477.12
28								
Quantiles								
parameters		2.5%	25.0%	50.0%	75.0%	97.5%		
	Symbol	Float64	Float64	Float64	Float64	Float64		
	σ^2	104916.3421	146309.4780	177025.1066	216837.5925	332730.2136		
	μ	9763.6855	9891.8617	9955.3523	10018.9425	10146.6951		

```
In [65]: 1 @show confint_ttest(y);
```

confint_ttest(y) = [9930.773424097964, 10019.805258002436]

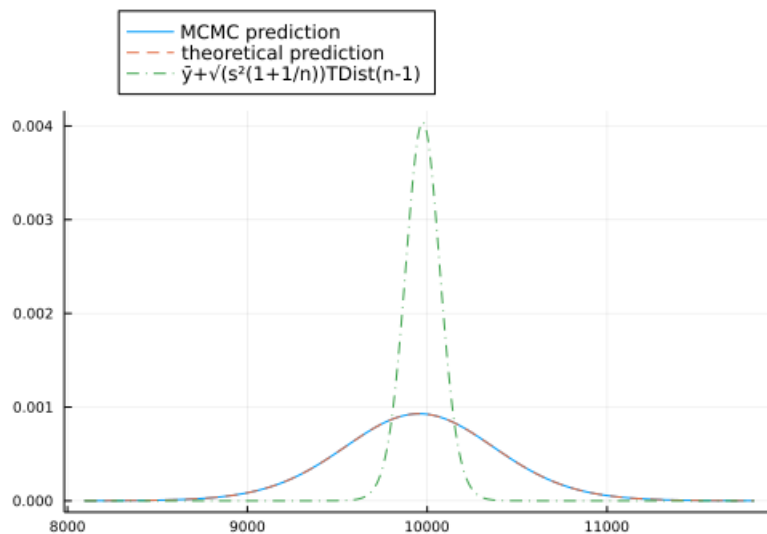
```
In [66]: 1 postμ_theoretical = posterior_μ(bayesian_update(μstar, vstar, κ, θ, y)...)
2 plot_posterior_μ(chn, y, postμ_theoretical)
```

Out[66]:



```
In [67]: 1 pred_theoretical = preddist(bayesian_update(μstar, vstar, κ, θ, y)...)
2 plot_preddist(chn, y, pred_theoretical)
```

Out[67]:



1.13 n = 200 で事前分布とデータの数値の相性が悪い場合

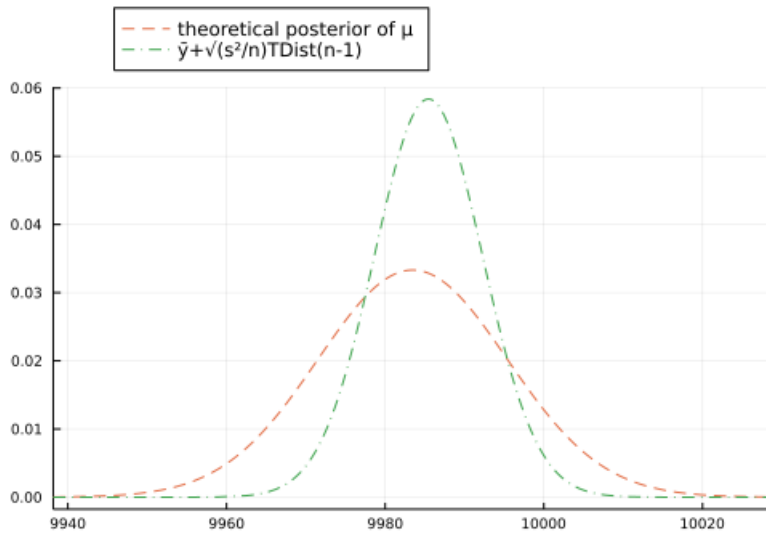
前節の続き

```
In [68]: 1 μ_true, σ_true, n = 1e4, 1e2, 200
2 @show dist_true = Normal(μ_true, σ_true)
3 y = rand(dist_true, n)
4 @show length(y) mean(y) var(y);
```

```
dist_true = Normal(μ_true, σ_true) = Normal{Float64}(μ=10000.0, σ=100.0)
length(y) = 200
mean(y) = 9985.454981200888
var(y) = 9312.384006700653
```

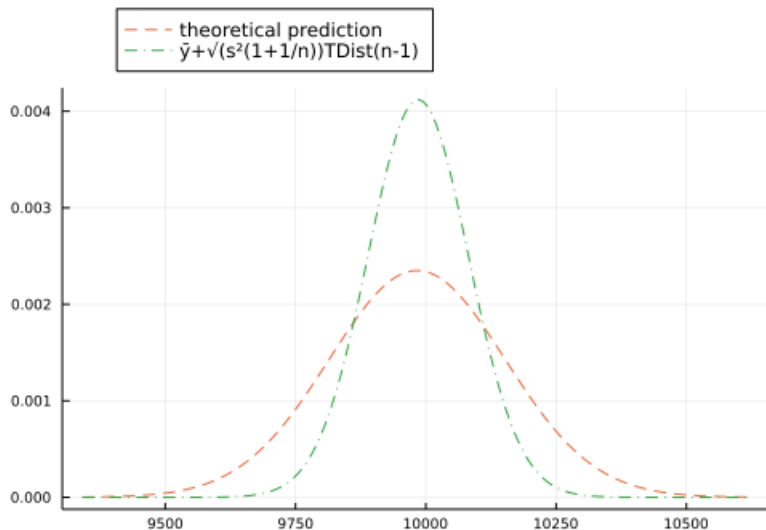
```
In [69]: 1 postμ_theoretical = posterior_μ(bayesian_update(μstar, vstar, κ, θ, y)...)
2 plot_posterior_μ(nothing, y, postμ_theoretical)
```

Out[69]:



```
In [70]: 1 pred_theoretical = preddist(bayesian_update(μstar, vstar, κ, θ, y)...)
2 plot_preddist(nothing, y, pred_theoretical)
```

Out[70]:



1.14 n = 2000 で事前分布とデータの数値の相性が悪い場合

前節の続き

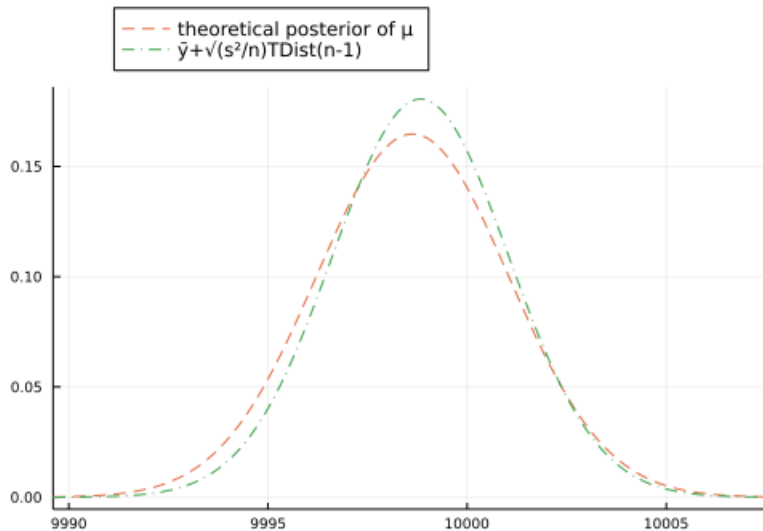
```
In [71]: 1 μ_true, σ_true, n = 1e4, 1e2, 2000
2 @show dist_true = Normal(μ_true, σ_true)
3 y = rand(dist_true, n)
4 @show length(y) mean(y) var(y);
```

```
dist_true = Normal(μ_true, σ_true) = Normal{Float64}(μ=10000.0, σ=100.0)
length(y) = 2000
mean(y) = 9998.829716287655
var(y) = 9762.499844804266
```



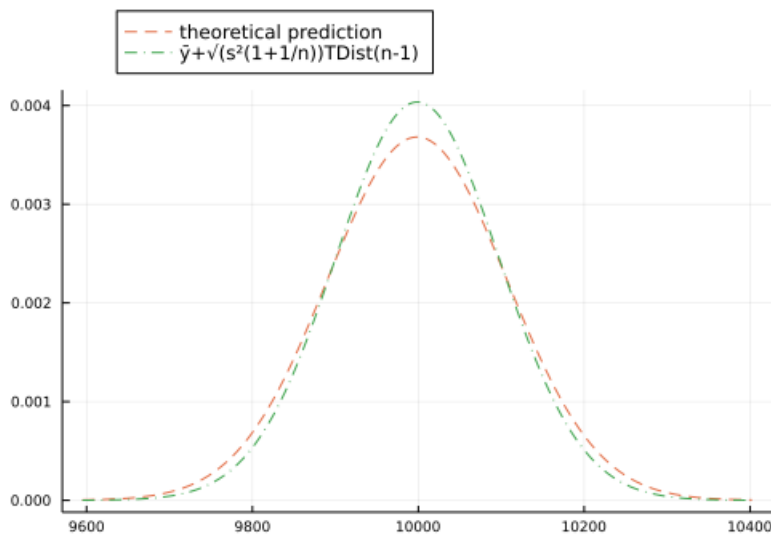
```
In [72]: 1 postμ_theoretical = posterior_μ(bayesian_update(μstar, vstar, κ, θ, y)...)
          2 plot_posterior_μ(nothing, y, postμ_theoretical)
```

Out[72]:



```
In [73]: 1 pred_theoretical = preddist(bayesian_update(μstar, vstar, κ, θ, y)...)
          2 plot_preddist(nothing, y, pred_theoretical)
```

Out[73]:



1.15 n = 20000 で事前分布とデータの数値の相性が悪い場合

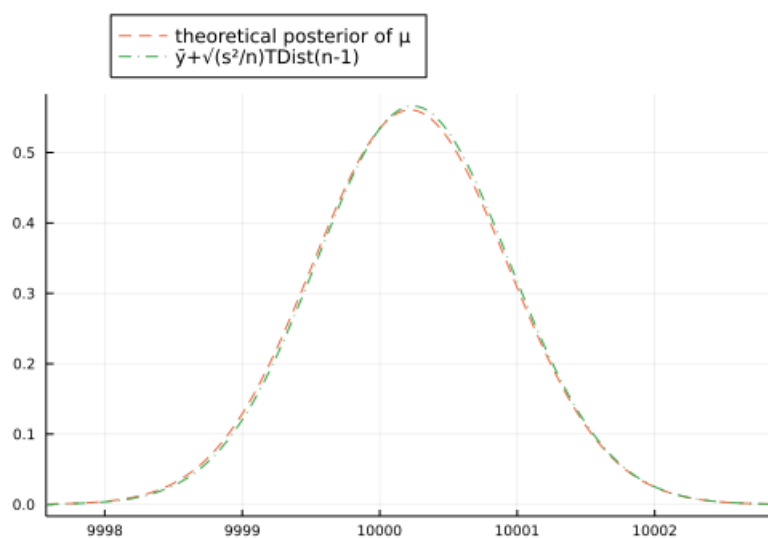
前節の続き

```
In [74]: 1 μ_true, σ_true, n = 1e4, 1e2, 20000
          2 @show dist_true = Normal(μ_true, σ_true)
          3 y = rand(dist_true, n)
          4 @show length(y) mean(y) var(y);

dist_true = Normal{Float64}(μ=10000.0, σ=100.0)
length(y) = 20000
mean(y) = 10000.24090421595
var(y) = 9932.528226665096
```

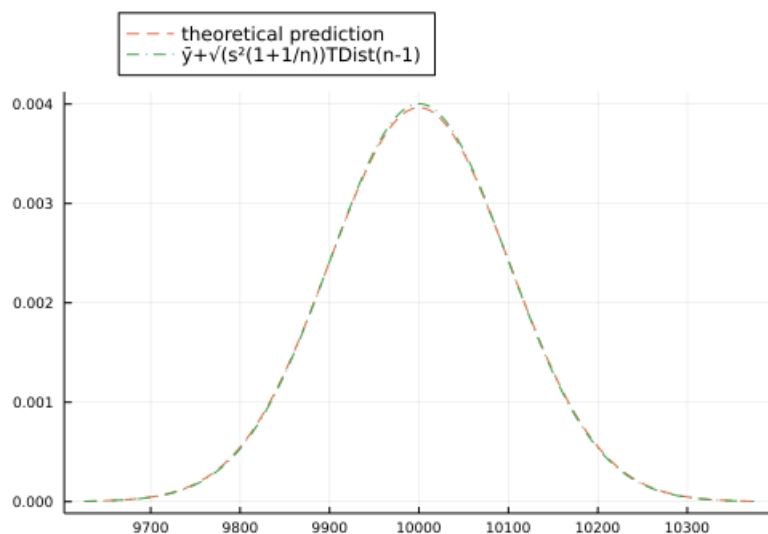
```
In [75]: 1 postμ_theoretical = posterior_μ(bayesian_update(μstar, vstar, κ, θ, y)...)  
2 plot_posterior_μ(nothing, y, postμ_theoretical)
```

Out[75]:



```
In [76]: 1 pred_theoretical = preddist(bayesian_update(μstar, vstar, κ, θ, y)...)  
2 plot_preddist(nothing, y, pred_theoretical)
```

Out[76]:



```
In [ ]: 1
```